

# AiSD2 2020/2021 - Laboratorium 12

Autor: MB

Ważne wskazówki techniczne: wszystkie wielokąty przechowujemy jako listę lub tablicę krotek z wartościami typu `double` reprezentującymi wierzchołki, przy czym wielokąt **zawsze podany jest zgodnie z ruchem wskazówek zegara**.

Tam, gdzie trzeba będzie zwracać trójkąty w rozwiązaniu, kolejność wierzchołków w trójkącie (i tylko w trójkącie) nie ma znaczenia.

## Etap 1 (0.5 pkt.)

Wielokąt  $P$  nazywamy monotonicznym względem prostej  $L$ , jeśli każda prosta ortogonalna do  $L$  przecina wielokąt co najwyżej 2 razy.

Wielokąt  $P$  nazywamy  $y$ -monotonicznym jeśli jest monotoniczny względem prostej tożsamej z osią  $Y$  (czyli jest monotoniczny względem dowolnej pionowej prostej).

Spójrzmy na rysunek 1. Zielone linie przecinają wielokąt raz, niebieskie dwa razy, a czerwone - ponad dwa razy. Pierwsze dwa wielokąty są  $y$ -monotoniczne, podczas gdy kolejne dwa nie są. Rysunek 2 przedstawia kolejne dwa wielokąty, w tym przypadek wielokąta wklęsłego, który jest  $y$ -monotoniczny.

Pierwszy etap polega na sprawdzeniu, czy wielokąt jest  $y$ -monotoniczny.

Rozwiązanie powinno być liniowe względem liczby wierzchołków wielokąta.

## Etap 2 (1 pkt.)

Mówimy, że dwa punkty w wielokącie  $P$  są widoczne, jeśli łączy je odcinek leżący w  $P$ . Mówimy, że wielokąt  $P$  jest słabo widoczny z krawędzi  $uv$  jeśli dla każdego  $z \in P$  istnieje takie  $w \in uv$  (zależne od  $z$ ), że  $z$  i  $w$  są widoczne. Wielokąt jest krawędziowidoczny jeśli istnieje przynajmniej jedna krawędź  $P$  (bok wielokąta  $P$ ) taka że wielokąt  $P$  jest z niej słabo widoczny.

Innymi słowy, interesują nas takie wielokąty  $P$ , że można wskazać jeden bok  $P$  taki że można z niego poprowadzić odcinek do każdego punktu w  $P$ .

Przedstawimy teraz algorytm na triangulację (podział na trójkąty) dla wielokątów krawędziowidocznych. Będzie on oparty o niepoprawny algorytm wyznaczania otoczki wypukłej Sklansky'ego.

Na wejściu mamy wielokąt  $P$  oraz  $uv$  krawędź z której wielokąt  $P$  jest widoczny.

Startując z  $v$  i idąc zgodnie z ruchem wskazówek zegara wykonaj dla każdego kolejnych 3 punktów  $p_k, p_{k+1}, p_{k+2}$  (Niech porządek punktów, po którym idziemy, będzie reprezentowany przez  $T$ . Gdy mówimy o przesuwaniu się do przodu lub do tyłu, mamy na myśli przesuwanie się po punktach w  $T$ ; co to dokładnie znaczy przesuwanie do przodu albo do tyłu, należy prześledzić na rysunku 3 oraz rozróżnić przypadek gdy usuwamy punkt z  $T$  lub nie):

1.  $S = (y_{k+1} - y_k)(x_{k+2} - x_{k+1}) + (x_k - x_{k+1})(y_{k+2} - y_{k+1})$
2. Jeśli  $S \leq 0$ , to znaczy, że skręt jest wklęsły (w lewo), pomijamy i przesuwamy się naprzód o jeden wierzchołek
3. Jeśli  $S > 0$ , to znaczy, że skręt jest wypukły (w prawo). Wtedy należy dodać do rozwiązania trójkąt złożony z rozważanych punktów. Usuń w porządku  $T$  punkt  $p_{k+1}$ . Jeśli  $p_k$  to był punkt  $v$ , przesunij się do przodu o jeden wierzchołek. W przeciwnym wypadku przesunij się do tyłu o jeden wierzchołek.
4. Jeśli w wyniku działania algorytmu będziemy chcieli dodać trójkąt z krawędzią  $uv$ , to to robimy i w tym momencie kończymy algorytm.

W tym etapie należy dla danego wielokąta (krawędź  $uv$  podana jest w ten sposób, że zmienna `edge_i` to indeks wierzchołka  $u$ , a `edge_j` to indeks wierzchołka  $v$ ) należy zwrócić listę trójkątów, na jakie dzielimy ten wielokąt.

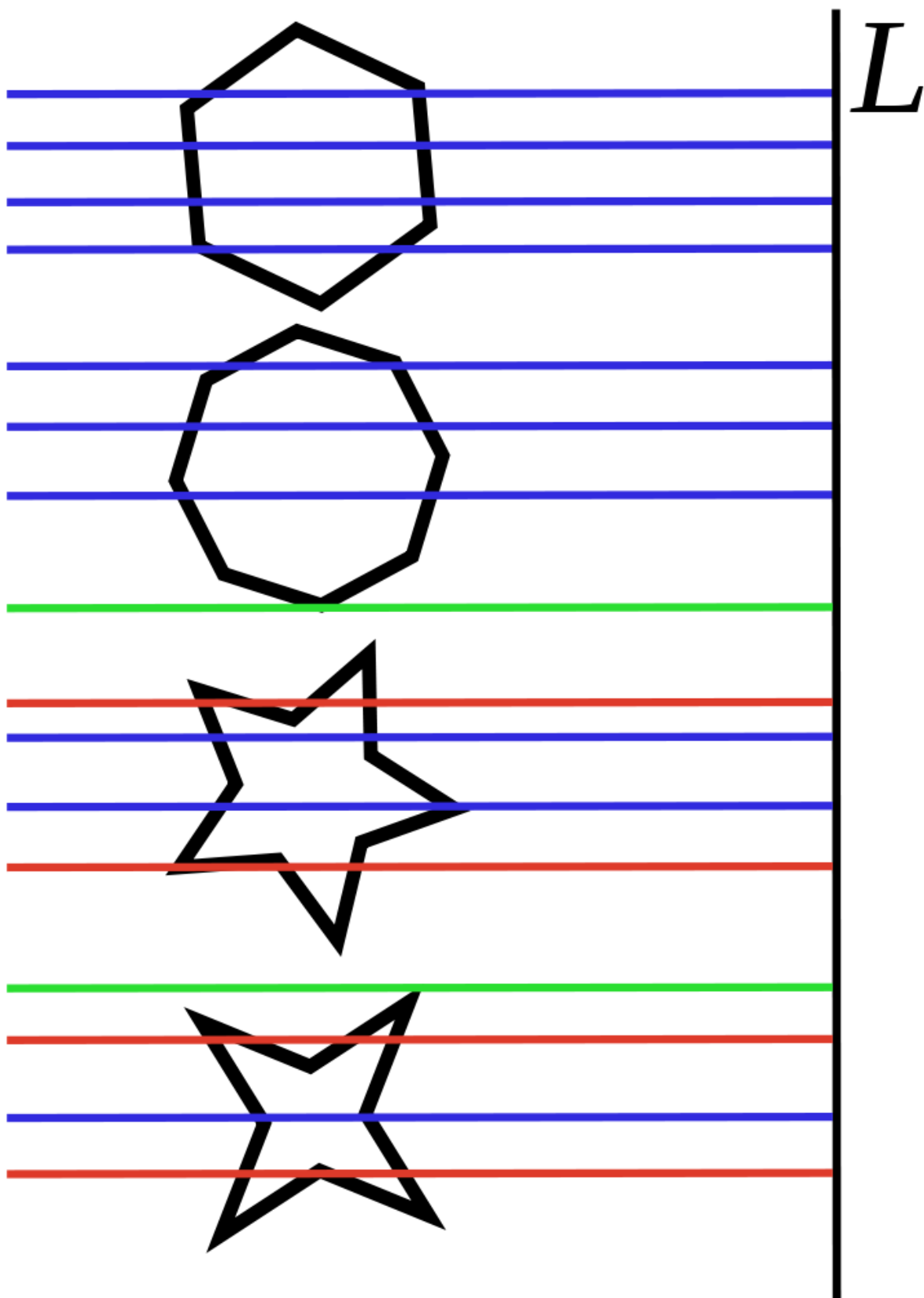


Figure 1: Pierwsze dwa wielokąty są y-monotoniczne

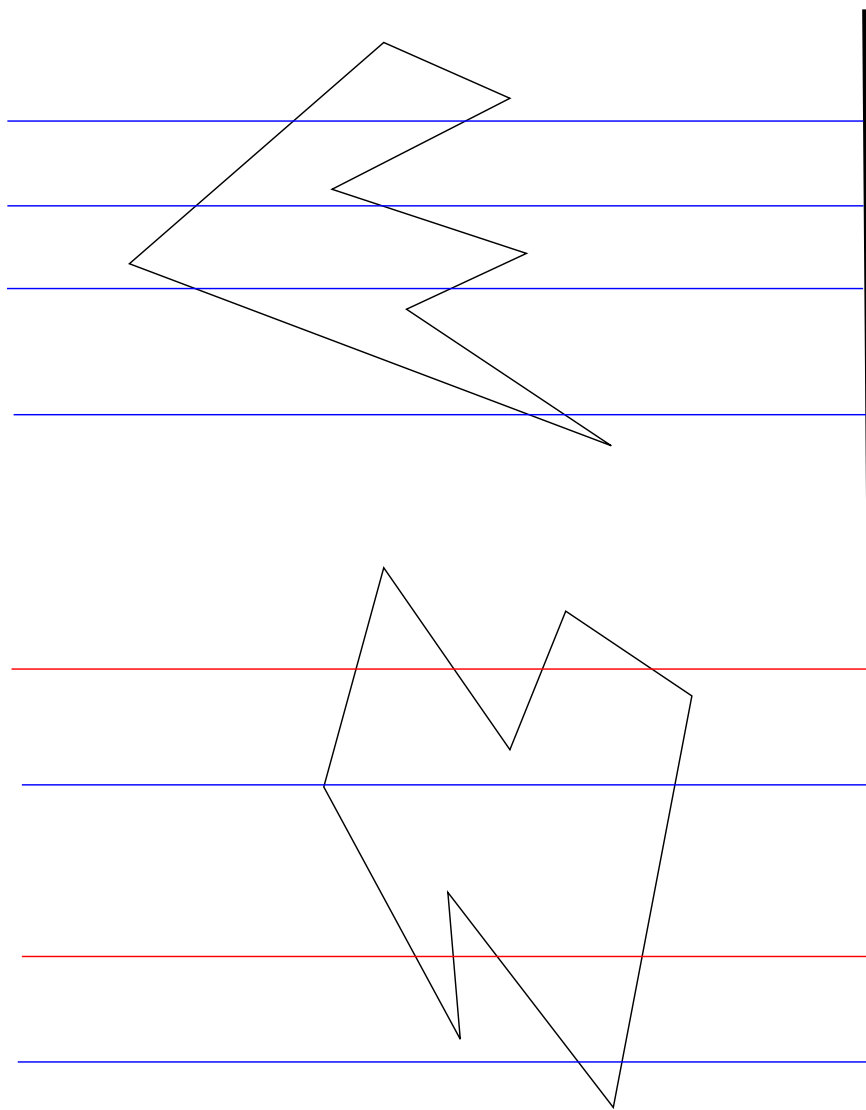


Figure 2: Ciekawsze przypadki. Górny wielokąt jest y-monotoniczny, choć jest wklęsły. Czym różni się od dolnego?

Implementacja powinna być liniowa względem liczby wierzchołków wielokąta na wejściu.

Rysunek 3 przedstawia wizualizację tego algorytmu.

### Etap 3 (1 pkt.)

Teraz przedstawimy algorytm na triangulację y-monotonicznego wielokąta  $P$  (rysunek pomocniczy 2).

1. Wyznacz wierzchołki o najmniejszej i największej współrzędnej  $y$ ,  $p_{ymin}$  i  $p_{ymax}$ .
2. Podziel wierzchołki na dwa fragmenty:  $C_1 = (p_{ymin}, \dots, p_{ymax})$  oraz  $C_2 = (p_{ymax}, \dots, p_{ymin})$ . Oznaczmy  $C_1 = (p_1, p_2, \dots, p_t)$  i  $C_2 = (q_1, q_2, \dots, q_s)$ . Zatem  $p_1 = q_s = p_{ymin}$  i  $p_t = q_1 = p_{ymax}$ .
3. Wyznacz połączenie dwóch posortowanych list  $C_1$  i  $C_2$  aby otrzymać nową posortowaną listę  $C_m$  (po współrzędnej  $y$ , od dołu do góry).
4. Przejdź przez  $C_m$  i kiedykolwiek po wierzchołku  $p$  (lub  $q$ ) następuje  $q$  (lub  $p$ ) dodaj diagonalę pomiędzy nimi.

W ten sposób dokonamy podziału wielokąta y-monotonicznego na podwielokąty krawędziowidoczne. Dla każdego z nich należy uruchomić procedurę z etapu 2.

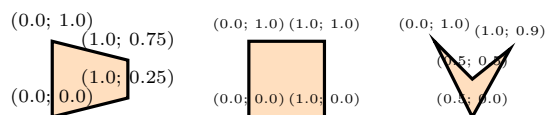
Rysunek 4 przedstawia jak wielokąt y-monotoniczny powinien zostać podzielony.  $EV_i$  to kolejne podwielokąty krawędziowidoczne. Krawędzie z których kolejne wielokąty są widoczne to  $e_1, e_2, e_3, e_4$ .

Uwaga techniczna: podczas wywoływania funkcji z etapu 2 należy podawać krawędź z której wielokąt jest widoczny tak, aby od `edge_i` dało się przejść przez cały wielokąt (idąc zgodnie ze wskazówkami zegara) aż do `edge_j`.

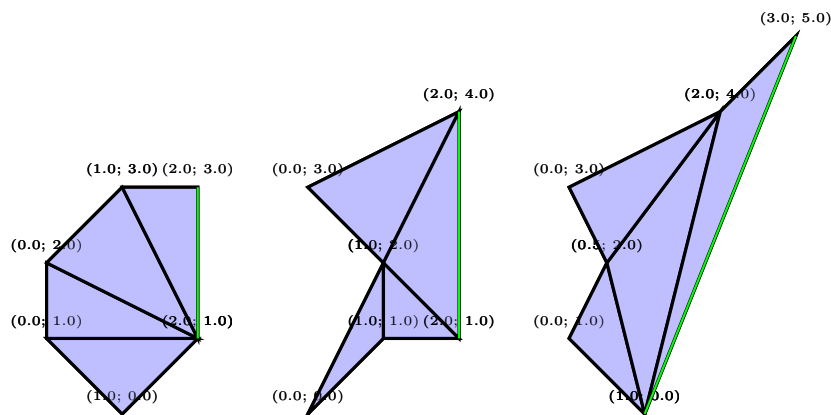
Implementacja powinna być liniowa względem liczby wierzchołków wielokąta na wejściu.

## Dane testowe

### Etap 1



### Etap 2



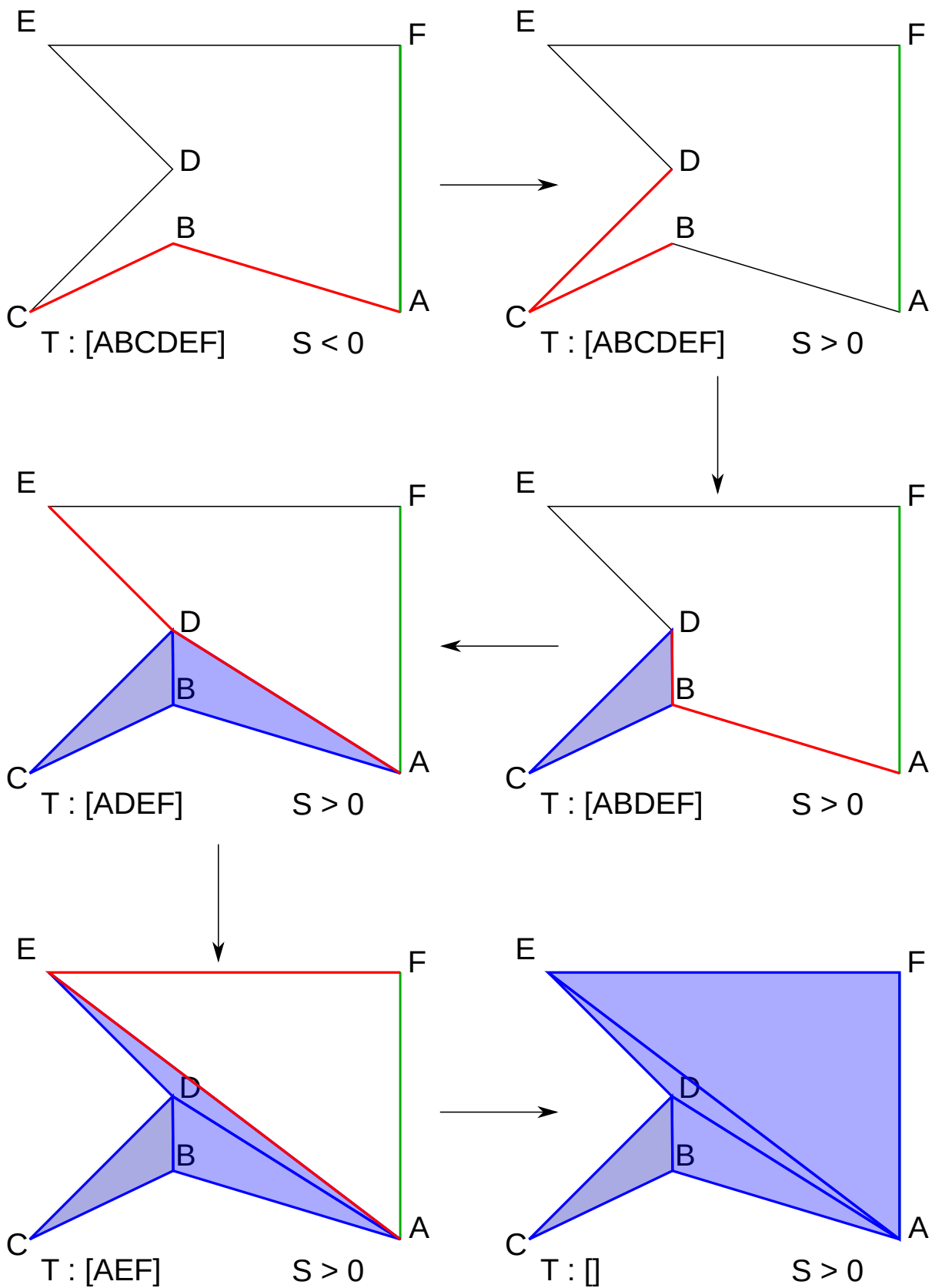


Figure 3: Wizualizacja algorytmu dla triangulacji wielokąta krawędziowidocznego. Zielona krawędź to krawędź  $uv$ , z której wielokąt jest widoczny. Czerwona łamana to rozważana trójka punktów  $p_k, p_{k+1}, p_{k+2}$ . Niebieskim kolorem zaznaczone są wynikowe trójkąty.

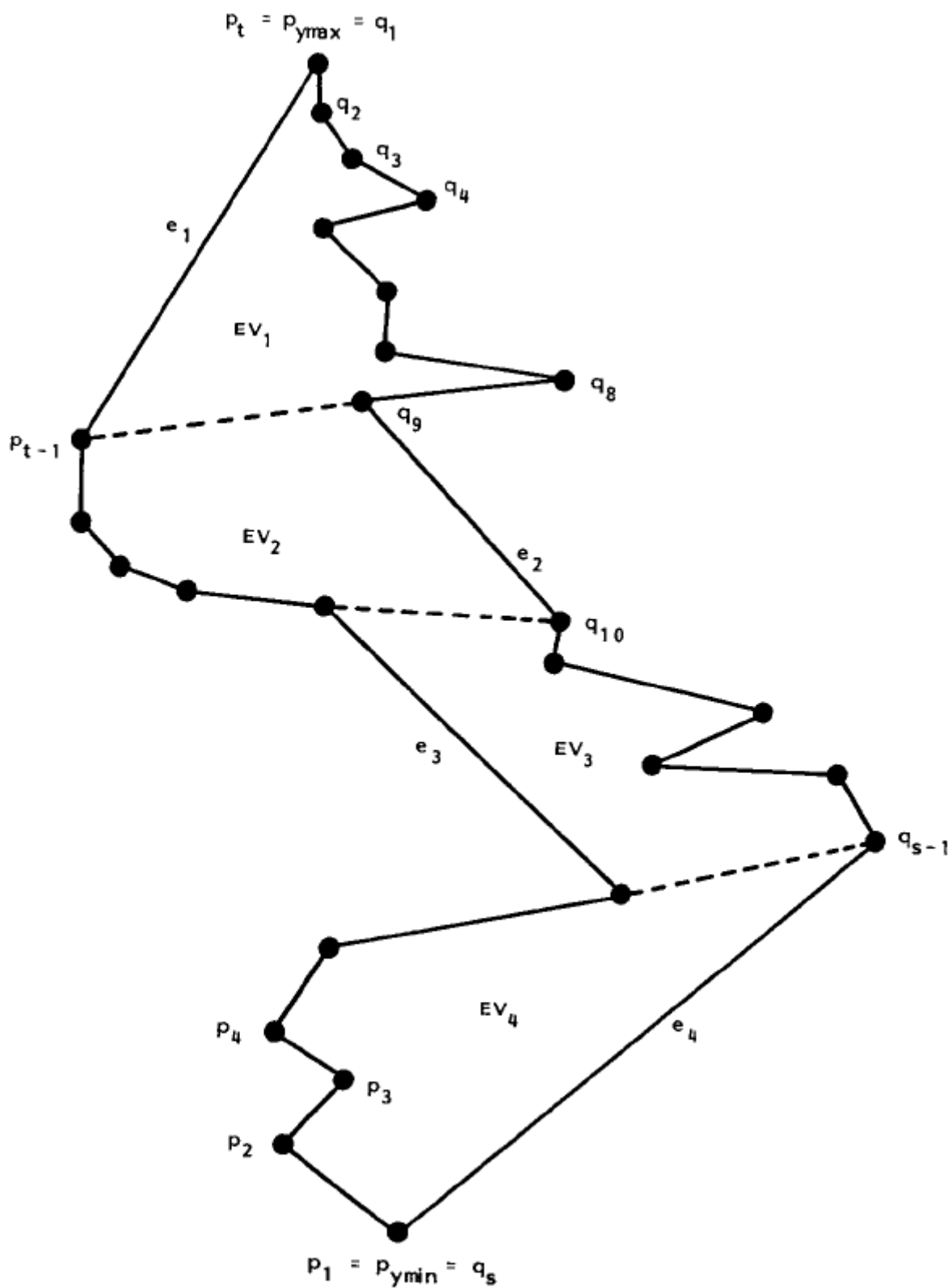


Figure 4: Podział wielokąta y-monotonicznego na wielokąty krawędziowidoczne

### Etap 3

